

CARACTERIZACIÓN ELÉCTRICA DE MÓDULOS FOTOVOLTAICOS MODELO DSM-240-C

Por Inv. Ag. J. Emilio Camejo*, M. Sc. H. Rivas Prieto*, M. Sc. R. Ramos Heredia* y M. Sc. R. Proenza Yero*

*Centro de Investigaciones de Energía Solar (CIES). Santiago de Cuba. Cuba.

E-mail: jcamejo@cies.cu

Resumen

Se presentan los resultados de la evaluación eléctrica de una muestra de 29 módulos fotovoltaicos de Si-policristalino de potencia nominal 240 Wp, modelos DSM-240-C, instalados en un generador fotovoltaico conectado a la red. Los resultados de la evaluación presentan como promedio que la potencia real medida (222,96 Wp) es 8,6 % inferior al valor Flash declarado por el fabricante.

Palabras clave: Caracterización eléctrica, módulos fotovoltaicos, curva I-V.

ELECTRICAL CHARACTERIZATION OF PHOTOVOLTAIC MODULES MODEL DSM-240-C

Abstract

The results of the electrical evaluation of a sample of 29 Si-polycrystalline photovoltaic modules of nominal power 240 Wp, model DSM-240-C, installed in a photovoltaic generator connected to the grid are presented. The results of the evaluation show on average that the real power measured (222,96 Wp) is 8,6 % lower than the Flash value declared by the manufacturer.

Keywords: Electrical characterization, photovoltaic modules, curve I-V.

Introducción

Hoy en día el control de calidad de las instalaciones fotovoltaicas se basa cada vez más en condiciones estándar de medida (CEM), conocida también por sus siglas en inglés STC, de potencia de muestras de módulos fotovoltaicos individuales, realizados en laboratorios especializados antes de su instalación en el campo. Esto asegura la potencia inicial entregada por el fabricante fotovoltaico, pero no excluye las nuevas ocurrencias de fenómenos no deseados, como la degradación inicial de luz, puntos calientes, «polarización», etc., que también forman parte de la realidad sobre el terreno [Martínez-Moreno *et al.*, 2011]. Por otra parte, no permite el control de las pérdidas de energía debido a la suciedad, mala adaptación y el cableado. Este marco favorece al florecimiento de importantes disparidades entre la efectividad de la potencia en CEM y la potencia nominal del generador fotovoltaico, que no es más que la suma de la potencia CEM de los módulos, dada por sus fabricantes.

El estudio que se presenta aborda la experiencia del Centro de Investigaciones de Energía Solar (CIES) en la caracterización eléctrica de módulos fotovoltaicos (FV) y consistió en evaluar la potencia eléctrica de una muestra de 29 módulos fotovoltaicos (FV) de Si-policristalino de potencia pico 240 Wp, a partir del trazado de la curva I-V y su corrección a las CEM, bajo las condiciones ambientales características de la zona, donde confluyen de manera conjunta altos niveles de radiación solar, temperatura ambiente y humedad relativa, según lo establecido en la Norma IEC (del inglés *International Electrotechnical Commission*).

Desarrollo

El generador fotovoltaico (GFV) se encuentra ubicado en Santiago de Cuba, en las coordenadas, Latitud: 20° 00' 75" y Longitud: 75° 77' 07".

Las mediciones se realizaron con un Trazador de Curva I-V, comercial, marca HT, modelo I-V 400 fabricado por HT Instruments [https://HT-instrumens.com, s/a], el cual permite de forma directa la obtención de la Curva I-V y las características de sus principales parámetros eléctricos. Este Trazador de Curva permite medir hasta un máximo de 1000 V y 10 A, con una exactitud de $\pm 2\%$. Las curvas I-V obtenidas se corrigen según la norma IEC-60891 [IEC Standard-60891, 2009], que establece que las mismas deben hacerse solo cuando la irradiancia total no fluctúe en más de $\pm 1\%$ durante la medición y la misma sea superior a 700 W/m^2 .

La medida de irradiancia incidente se realizó con una célula de referencia modelo HT 304, de la misma tecnología y material de los módulos FV, colocada de forma coplanar al módulo FV y la temperatura de la célula, mediante una termoresistencia, modelo PT300N, colocada en el centro de la parte trasera de cada módulo FV evaluado. Ambos dispositivos, auxiliares, forman parte del Trazador de Curva comercial, modelo I-V 400, cuyas características principales son las siguientes:

1. Sensor de Irradiancia:

Célula de referencia, modelo HT304, marca HT

- Tecnología: Si- Policristalino
- Sensibilidad de la celda: $28,9 \text{ mV/kW/m}^2$
- Coeficiente de temperatura I_{sc} : $0,06\%/\text{°C}$
- Rango de operación: $50\text{--}1400 \text{ W/m}^2$
- Precisión: $\pm 3\%$
- Campo [mV]: $1,0 \div 100,0$
- Resolución [mV]: $0,1$
- Incertidumbre: $\pm (1,0\% \text{ lectura} + 5 \text{ dígitos})$

2. Sensor de temperatura:

- Termoresistencia Modelo: PT300N
- Sensibilidad: $3,85 \Omega/\text{°C}$
- Precisión: $\pm 1\text{°C}$.
- Campo [°C]: $-20 \pm 100,0$
- Resolución [°C]: $0,1$
- Incertidumbre: $\pm (1,0\% \text{ lectura} + 1\text{°C})$

Los módulos FV evaluados están compuestos por 60 celdas solares de Si-policristalino de formato $156 \text{ mm} \times 156 \text{ mm}$, conectadas en serie. El arreglo de celdas solares se encuentra encapsulado en el interior de dos láminas de EVA (Etilen Vinil Acetato), insertado a la vez entre un vidrio templado con un espesor de $3,2 \text{ mm}$ por la parte frontal y por el dorso una lámina multicapas con excelentes propiedades eléctricas, químicas y mecánicas, la cual garantiza la protección del módulo FV y una adherencia perfecta con el EVA. Las características eléctricas del módulo FV se describen a continuación:

Tabla 1. Características eléctricas del módulo FV

MODULO SOLAR DSM-240-C	
Potencia nominal [Wp]	240
Corriente en el punto de máxima potencia (Imp) [A]	8,18
Voltaje en el punto de máxima potencia (Vmp) [V]	29,8
Corriente de corto circuito (Isc) [A]	8,54
Voltaje a circuito abierto (Voc) [V]	37,0
Tolerancia [W]	± 3

Resultados

1. Evaluación de potencia eléctrica

Durante las mediciones, la irradiancia (G) se comportó entre 799 y 1160 W/m^2 , alcanzando temperatura máxima en la célula (T) de los módulos FV de $63,9 \text{ °C}$ y mínima de $48,0 \text{ °C}$.

La Tabla 2, muestra los valores medidos de potencia, irradiancia y temperatura del módulo FV, el porcentaje de error entre la potencia Flash dada por el fabricante y la potencia en CEM, en 29 módulos FV.

De la Tabla 2, se deriva que en promedio la potencia eléctrica en CEM ($222,96 \text{ Wp}$) de los 29 módulos FV evaluados, es $8,6\%$ inferior al valor de potencia Flash declarada por el fabricante. La Fig. 1, muestra el gráfico de dispersión de las medidas de potencia Flash y CEM.

Tabla 2. Valores medidos de potencia, irradiancia y temperatura de los módulos FV

# de serie	P máx. (Wp)	Irradiancia (W/m^2)	Temp. Módulo (°C)	CEM (Wp)	Flash (Wp)	% de error
1309202228	181,24	897	54,1	225,00	245,98	-8,53
1308202138	209,24	1062	50,1	219,33	242,34	-9,49
1308201493	203,76	1033	55,0	224,01	243,48	-8,00
1308201908	200,56	1024	56,3	223,56	245,31	-8,87
1308202196	227,79	1160	56,0	227,45	246,61	-7,77
1306201489	217,11	1063	48,3	225,31	245,01	-8,04
1306802182	197,35	969	50,8	225,42	244,34	-7,74
1308202164	201,65	965	52,7	219,65	243,61	-9,84
1308201360	195,92	978	48,1	224,32	241,71	-7,19
1308201164	205,67	1020	51,1	222,35	241,96	-8,10
1308201368	204,10	1021	50,9	228,08	242,93	-6,11
1308200356	207,29	1006	51,2	223,16	239,76	-6,92
1308203472	210,02	1034	48,0	223,70	242,28	-7,67
1308202161	177,40	889	54,6	225,16	242,88	-7,30
1308203492	188,97	938	52,7	220,20	240,78	-8,55
1308202201	206,42	1016	49,9	227,28	242,99	-6,47
1309202434	198,43	1011	52,9	213,39	242,38	-11,96
1309202491	203,11	1003	53,2	223,07	248,92	-10,38
1309202411	182,74	1016	63,9	227,36	243,80	-6,74
1309202473	203,38	1026	53,6	224,46	246,22	-8,84
1309202459	164,94	799	54,3	224,35	245,09	-8,46
1309202450	166,39	823	55,1	222,75	242,35	-8,09
1309202457	169,89	834	53,7	224,00	241,48	-7,24
1309202431	172,06	861	55,5	217,55	246,80	-11,85
1309202433	174,65	865	55,0	217,69	245,54	-11,34
1309202452	183,01	935	52,6	218,42	245,33	-10,97
1309202425	180,45	958	60,1	222,93	247,30	-9,85
1308202173	190,37	992	55,7	231,97	244,50	-5,12
1308207466	217,58	1107	54,4	223,59	242,50	-7,80
Promedio	194,53	976	53,4	222,96	245,13	-8,6

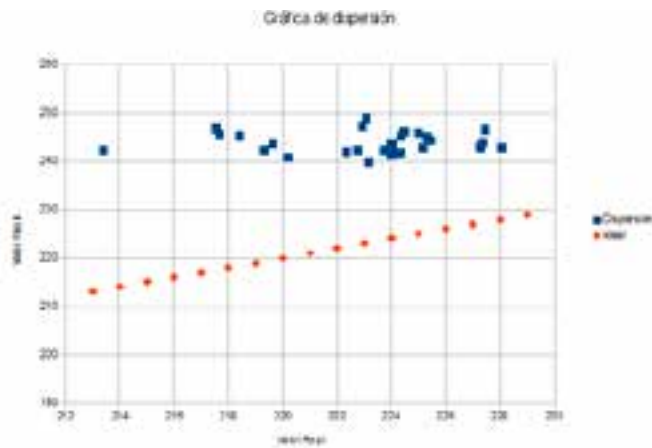


Fig. 1. Gráfico de dispersión de las medidas Flash y en CEM.

En el gráfico de dispersión, Fig. 1, la línea diagonal (rombos) representa los valores ideales, en los que la potencia Flash es igual a la potencia real en CEM, y en cuadrados la dispersión de los valores reales en CEM. En el análisis del gráfico observamos que si los valores de la dispersión se encuentran por debajo de la línea diagonal, ello indica que los valores reales CEM son mayores que los valores Flash, y por el contrario, si los valores reales CEM se encuentran por encima de la diagonal ello indica que se encuentran por debajo del valor Flash, cómo es evidente en el análisis realizado.

Las curvas I-V obtenidas bajo condiciones reales de operación son extrapoladas a las CEM, de conformidad con la norma IEC 60891. La Fig. 2 muestra las curvas I-V, de dos módulos FV seleccionados, para las cuales fueron escogidas, a) peor valor de potencia nominal obtenida, correspondiente al módulo FV con número de serie 1309202434 y b) mejor valor de potencia nominal obtenido, correspondiente al módulo FV con número de serie 1308202173 y su extrapolación a CEM utilizando los coeficientes de corriente y tensión de temperatura, $\alpha = 0,065 \text{ } \%/^{\circ}\text{C}$ y $\beta = -0,34 \text{ } \%/^{\circ}\text{C}$, respectivamente. Los datos de potencia Flash y CEM, de estos módulos FV, pueden observarse en la Tabla 2.

I-V OPC: representación gráfica del módulo FV, trabajando bajo condiciones normales de operación.

I-V Nominal: representación gráfica del módulo FV, como si trabajasen a 25°C y 1000 W/m^2 .

I-V CEM: representación gráfica del módulo FV, trabajando bajo condiciones normales de operación y corregido a las CEM, (25°C y 1000 W/m^2).

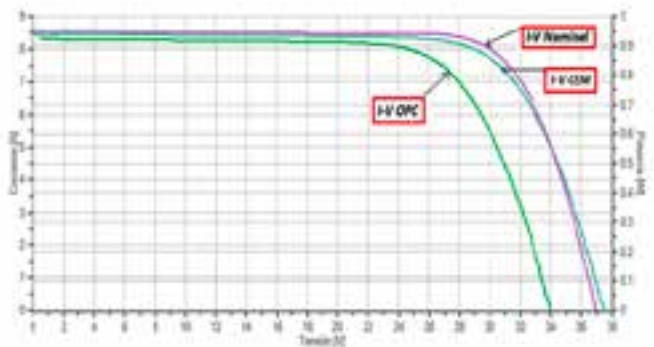


Fig. 2 b). Curva I-V del módulo medido con mejor valor de potencia nominal.

Conclusiones

En los 29 módulos FV evaluados, en promedio, la potencia real medida ($222,96 \text{ Wp}$) es $8,6 \%$ inferior al valor Flash declarado por el fabricante, de lo que se infiere que esta diferencia puede interpretarse como un indicador de mala calidad de los módulos fotovoltaicos.

Referencias bibliográficas

- IEC STANDARD 60904-1 (2006). «Photovoltaic Devices. Part 1: Measurements of Photovoltaic Current–Voltage Characteristics». International Electrotechnical Commission.
- IEC STANDARD-60891 (2009). «Photovoltaic Devices. Procedures for Temperature and Irradiance Corrections to Measured I–V Characteristics». International Electrotechnical Commission.
- SPERTINO, F.; A. ABETE, R. NAPOLI (2006). «Experimental testing of grid-connected PV Systems with different power in order to assess the yearly energy production». 21st European Photovoltaic Solar Energy Conference, 2312–2315, Dresden, Germany.
- F. MARTÍNEZ-MORENO, E. LORENZO, J. MUÑOZ and R. MORETÓN (2011). «On the testing of large PV arrays. Progress in photovoltaics: research and applications: Res. Appl».. <https://HT-instrumens.com> (s/a).

Recibido: 1ro de agosto 2020.

Aceptado: 20 de agosto de 2020.

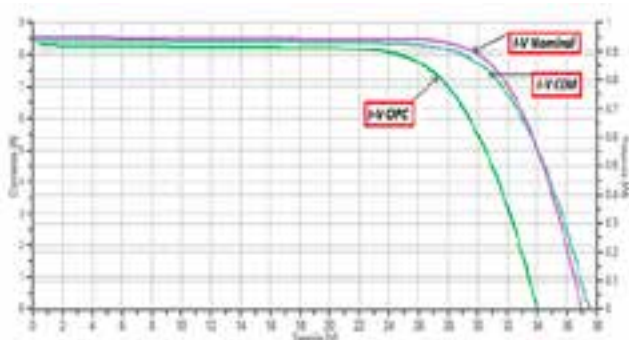


Fig. 2 a). Curva I-V del módulo medido con peor valor de potencia nominal.